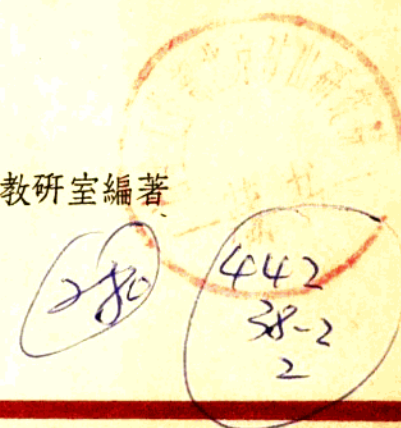


高等学校教学用书

专业轻金属冶金学

第二册 电冶鋁

东北工学院有色金属系輕金属冶炼教研室編著



中国工业出版社

ACU89/05

目 录

緒論.....	1
第一篇 鋁電解理論基礎.....	5
引言	1
第一章 电解質的体系及其性質	5
§ 1. 电解質的熔度	5
§ 2. 电解質的密度	13
§ 3. 电解質的粘度	17
§ 4. 电解質的表面張力与潤湿性	20
§ 5. 电解質的蒸气压力与揮發性	37
§ 6. 电解質的导电度	41
§ 7. 几种可能采用的添加物对电解質物理-化学性質的影响.....	50
第二章 电解質各組成分的分解电压	55
§ 1. Al_2O_3 分解电压的計算	55
§ 2. Al_2O_3 分解电压的測定	60
§ 3. 电解質其他組成分的分解电压	65
第三章 电解机构	68
§ 1. 电解机构的兩类學說	68
§ 2. 冰晶石-氧化鋁熔体的結構	69
§ 3. 两極反应	75
§ 4. 两極附近电解質成分的变化	78
第四章 两極副反应	80
§ 1. 阳極副反应	80
§ 2. 阴極副反应	99
第五章 冰晶石-氧化鋁熔体电解时的电流效率与电能效率.....	105
§ 1. 概說	105
§ 2. 鋁在电解質中的溶解与損失	107
§ 3. 各种因素对电流效率的影响	110
§ 4. 电流效率的測定	132
第二篇 鋁電解生产.....	134
第一章 鋁電解生产概述	134
§ 1. 生产过程概述	134
§ 2. 电解所用之原料及材料	135
§ 3. 鋁电解車間	137

第二章 鋁电解槽	140
§ 1. 鋁电解槽的构造及其發展	140
§ 2. 电解槽的安装	147
第三章 鋁电解槽的焙燒	152
§ 1. 焙燒的目的和原則	152
§ 2. 連續阳極旁插棒式电解槽的焙燒	153
§ 3. 連續阳極頂插棒式电解槽的焙燒	155
第四章 电解槽的开动	158
§ 1. 电动前期	158
§ 2. 开动后期	160
第五章 鋁电解槽的正常生产	165
§ 1. 正常生产的技术条件	165
§ 2. 加料-加氧化鋁	169
§ 3. 阳極的調整与維护	176
§ 4. 出鋁	181
§ 5. 电解質成份的檢查和調整	183
§ 6. 鋁电解生产过程的强化	194
§ 7. 电解鋁質量的提高	198
§ 8. 鋁电解生产中磁场的影响	199
§ 9. 病槽及事故处理	204
§ 10. 鋁电解槽的破損与維护	211
§ 11. 劳动組織与安全生产	216
§ 12. 鋁电解生产的成本	218
第六章 原鋁的氯化与鑄錠	222
§ 1. 原鋁的質量	222
§ 2. 氯化	223
§ 3. 鑄錠	225
第七章 炭渣处理与阳極气体利用	229
§ 1. 炭渣处理	229
§ 2. 阳極气体的利用	232
第三篇 鋁电解的設計与計算	235
第一章 鋁厂設計基础	235
§ 1. 設計的程序和內容	235
§ 2. 关于电解鋁厂的建設問題	237
§ 3. 直流电源的选择	240
§ 4. 电解槽系列电力制度的确定	244
§ 5. 车間組成与厂房布置	250
§ 6. 电解厂房內的通風与排烟	256

§ 7. 鑄造部設備的选择	257
§ 8. 运輸設備与設施	258
§ 9. 倉庫容积的确定	260
第二章 鋁电解槽的計算	262
§ 1. 电解槽計算基础	262
§ 2. 电解計算举例	281
(一) 电流强度60000 安培橫插阳極棒电解槽計算	281
(二) 电流强度125000 安培頂插阳極棒电解槽計算	295
第四篇 鋁精煉	310
第一章 鋁精煉概論	310
§ 1. 高純鋁的性質和用途	310
§ 2. 制取高純鋁方法概論	312
第二章 三層液电解精煉法	316
§ 1. 三層液电解精煉法的發展	316
§ 2. 电解質的体系和性質	319
§ 3. 阳極合金	326
§ 4. 电解精煉的电化学反应	327
§ 5. 电解精煉中的極化电动势	329
§ 6. 电解精煉中的电流效率	332
§ 7. 近代精煉电解槽	332
§ 8. 电解質及阳極合金的 准备	336
§ 9. 鋁精煉电解槽的操作	338
§ 10. 廢鋁的电解精煉	341
第三章 区域熔煉法与低价化合物蒸餾法制取高純鋁	344
§ 1. 区域熔煉法	344
§ 2. 低价化合物蒸餾法	346
第五篇 电热法	351
第一章 电热法概論	351
§ 1. 电热法的發展	351
§ 2. 电热法的特点	352
第二章 电热法理論基础	355
§ 1. 氧化鋁的还原	355
§ 2. 氧化矽的还原	363
§ 3. 氧化鋁与氧化矽共同还原的理論	365
第三章 鋁硅合金生产	371
§ 1. 生产流程概述	371
§ 2. 电热法用的鋁矿	371
§ 3. 还原剂	377

§ 4. 制团	379
§ 5. 配料計算	380
§ 6. 电爐的型式与电力制度	383
§ 7. 电爐的电力特性曲綫	387
§ 8. 电爐的构造	390
§ 9. 鋁硅合金熔煉	391
§ 10. 鋁鐵合金生产	393
§ 11. 技术-經濟指标	394
第四章 从电热法鋁硅合金中提取共晶鋁硅	397
§ 1. 一次合金的应用及其精煉	397
§ 2. Al-Si-Fe三元系	397
§ 3. 制取共晶鋁硅	399
第五章 从电热法一次鋁硅合金中提取純鋁	404
§ 1. 选择溶解法	404
§ 2. 低价化合物蒸馏法	410
§ 3. 从鋁矿直接提取金屬鋁	417
附录 40000 安培鋁精煉电解槽計算	419

緒論

在各種輕金屬中，鋁最重要。這是由於鋁很輕，而且具有良好的延展性、導電性和抗腐蝕性，某些鋁合金具有良好的機械性能。因此鋁及其合金廣泛地應用在航空、電工、鐵路運輸、建築（房屋及橋梁）、化工、軍事、日用品製造工業等方面。

高純鋁具有特殊的性能，如高度的導電性、抗腐蝕性、可塑性、反光性以及陽極氧化性能，因而它在尖端技術上得到應用。

在自然界里，鋁分布極廣，幾乎占地殼中全部金屬量的三分之一，所以鋁有著取之不盡的來源。雖然如此，但由於鋁在自然界中並非是以單體狀態而是以化合物狀態（一般是氧化物）存在，鋁的化合物又非常穩定，因此提取金屬鋁是一個複雜的過程，並且要消耗巨量的電能。這樣，鋁的生產就受到很大的阻礙。

金屬鋁最初是用化學法從氯化鋁中制取，1825年用鉀汞作還原劑，1827年用鉀，1854年用原子量較小的鈉代替鉀。1865年用鎂從天然冰晶石中置換出鋁。鈉法與鎂法都曾在工業上應用過，在十九世紀中叶一共生產了約200噸金屬鋁。

在化學法的末期發明了發電機，並且實現了三相交流輸電，於是電力得到大量供應，就給電解法準備了條件。1886年發明的冰晶石-氧化鋁熔體電解法是以氧化鋁溶解在熔融的冰晶石里通入直流電進行電解得到金屬鋁的一種方法。在這種方法里，氧化鋁是原料，冰晶石是熔融介質，生產過程是連續的。這種方法很快就在工業上應用，並且一直至今七十多年以來成為工業鋁生產最主要的方法。

在這期間還曾研究過用各種不同的熔融介質——如硫化鋁、氯化鋁、氯化鈉-氯化鋁、鋁酸鈣等進行電解，企圖改革上述的方法，但是都未取得圓滿的結果。

鋁鹽水溶液電解同樣沒有成功。這是因為鋁離子的析出電位比氫離子的高，所以電解的結果在陰極上只得到氫氣而得不到鋁。

鋁鹽在有機溶液介質中的電解雖然可以得到鋁，但由於有機溶液電阻較大、穩定性不足、價格昂貴、鋁在陰極上沉積狀態不良等原因，以致這種方法還難於在工業上應用。

目前鋁電解生產實際上包括四種產品的生產：氧化鋁生產、冰晶石生產、電極生產和金屬鋁生產本身，因而是十分複雜的而又消耗巨量電能的過程。

* * * * *

近年來鋁冶金總的发展趨勢是：（1）生產量快速增長，（2）電能利用率提高，（3）在生產過程中金屬損失減少，（4）工業生產中付產品數目增多，（5）勞動生產率不斷提高，（6）金屬純度提高，（7）鋁及其合金在國民經濟中以及在尖端技術上的廣泛應用，（8）冶煉方法的革新，（9）理論概念的完善。

從1950年以來，全世界鋁的年產量在迅速增長，目前已接近500萬噸，十年來增長了將近一半。從發展趨勢看來，鋁的產量在今後幾年內將要趕上銅，以後還要超過銅。鋁產量的迅速增長在客觀上是由於鋁的用途在日益擴大而電能的來源又在不斷增多。

在鋁電解生產中目前正力圖提高設備的生產率，這是以改善電解質成分，改進電解

槽的结构、扩大电解槽的规模、强化生产、改革操作方法、逐步实现生产过程的机械化和自动化为特点。

前面说过，铝生产要消耗巨量的电能，因此在铝的成本中电能一项占着很大的比重，减少单位产品的电能消耗就有着很大的意义。统计资料表明，从1915~1959年数十年间单位产品的电耗是随着电解槽生产规模的扩大（亦即电流负荷的增加）而逐步减少。

铝电解槽电流负荷与电能消耗率历年变化概况

年 代	电 流 负 荷 (安培)	电 能 消 耗 率 直 流 电(瓦·时/公斤)
到1915	4000~12000	40~25
1925	25000	22
1930	30000	20
1945	60000	18
1955	100000	<17
1959	100000~150000	<16

随着生产量的快速增长，电解的电流效率与劳动生产率日益提高，同时付产品得到综合的利用。例如，铝电解的电流效率已达到90~92%，在采用机械化操作时劳动生产率提高到4.5工时/公斤铝，而阳极气体中氟的回收率达到90%，并且从炭渣中提取出镓[1-2]。

在铝电解槽结构方面的改革近年来是以采用顶插棒阳极作为主要特点，此外，还有大型連續式預制阳极、无缝槽底、绝缘槽壁、钢丝网水泥槽身等新技术。在铝电解中历来采用炭素阳极与炭素阴极，目前试验炭化钛阴极与钛、锆、钒等金属的硼化物、碳化物或氮化物阳极如获成功，必然会给铝电解槽的结构以及铝电解质的成分带来重大的改革[3]。

铝电解质的成分近年来仍然是以冰晶石-氧化铝熔体作为基础。为改善它的物理-化学性质，并改善铝电解的生产条件，世界各国试验或采用了多种添加剂，例如氟化铝、氟化钙、氟化镁、氯化钠、氯化银、硼氟化钠等等。其中某些添加剂经证明极有成效。

在铝电解槽的生产操作上出现了如下一些技术革新：槽电压与极距的自动控制、阳极效应的自动控制、加料的机械化等。

尽管铝电解法已经沿用了七十多年，但是铝电解的理论还缺乏充分的研究，以致如冰晶石-氧化铝熔体的结构、电解的机构、阳极效应发生和熄灭的机构等关键问题还存在着各种分歧的见解。这主要是由于高温的熔体具有很大的侵蚀性，而其本身的稳定性不够，以致在用一般的方法进行研究时并不能得出正确的结论。为解决这些关键性的問題，势必要求采用最新的研究方法。

这样，数十年来的铝电解生产已经有了很大的发展，但是其原理并没有改变。我们在研究铝冶金的时候，显然是并不满足于既有的成就，而是力图寻求新的炼铝途径。

目前看来，在炼铝的方法当中，用电热法直接还原铝矿得到铝硅合金而后从铝硅合

[1] Paul H. Müller, ERZMETALL, 9, 1960.

[2] А. Д. Ходыко, Цвет. Мет., 3, 1961.

[3] Robert A. Lewis, U.S. Patent, Dec. 1, 1959.

金中提取純鋁是一条新的途径。在最近卅年來电热法的研究工作迄未間断，目前的研究工作証明了在电弧炉里用炭还原鋁矿与氧化鋁混合物可以制取得含鋁60~80%的鋁硅母合金〔1〕，这种母合金在进一步处理后能够得到純鋁与共晶鋁硅（含硅12~13%之鋁硅合金）。在电热法里用交流电而不用直流电，电弧炉的生产率比起电解槽大了数十倍，按金属鋁計算的电能消耗率有所減低，劳动生产率大为提高，而且对于原料純度的要求远不如电解法那样严格。这样，电热法未来的大发展就具备着充分的有利条件。

应用低价氯化物蒸餾的原理从鋁矿直接提取金属鋁的方法在原則上是合理的，目前看來研究得还不充分，尙待进一步研究。

近年来在炼鋁的技术領域內另一个重大的发展是以达到高純度为标志。如果在一般的工业电解中能够制取99~99.75%之純鋁，則在电解精炼中能够制取99.99~99.999%之精鋁，而在采用特殊的方法时（如区域熔炼、低价卤化物蒸餾、或几种方法的联合应用）則可以达到99.999~99.99999%之高純鋁。

由于現代的鋁冶金是以电解法为基础，以电热法为发展方向，并以提取高純鋁为重要內容，这些方法大多是属于电冶金的范畴，因此本門学科定名为电冶鋁。

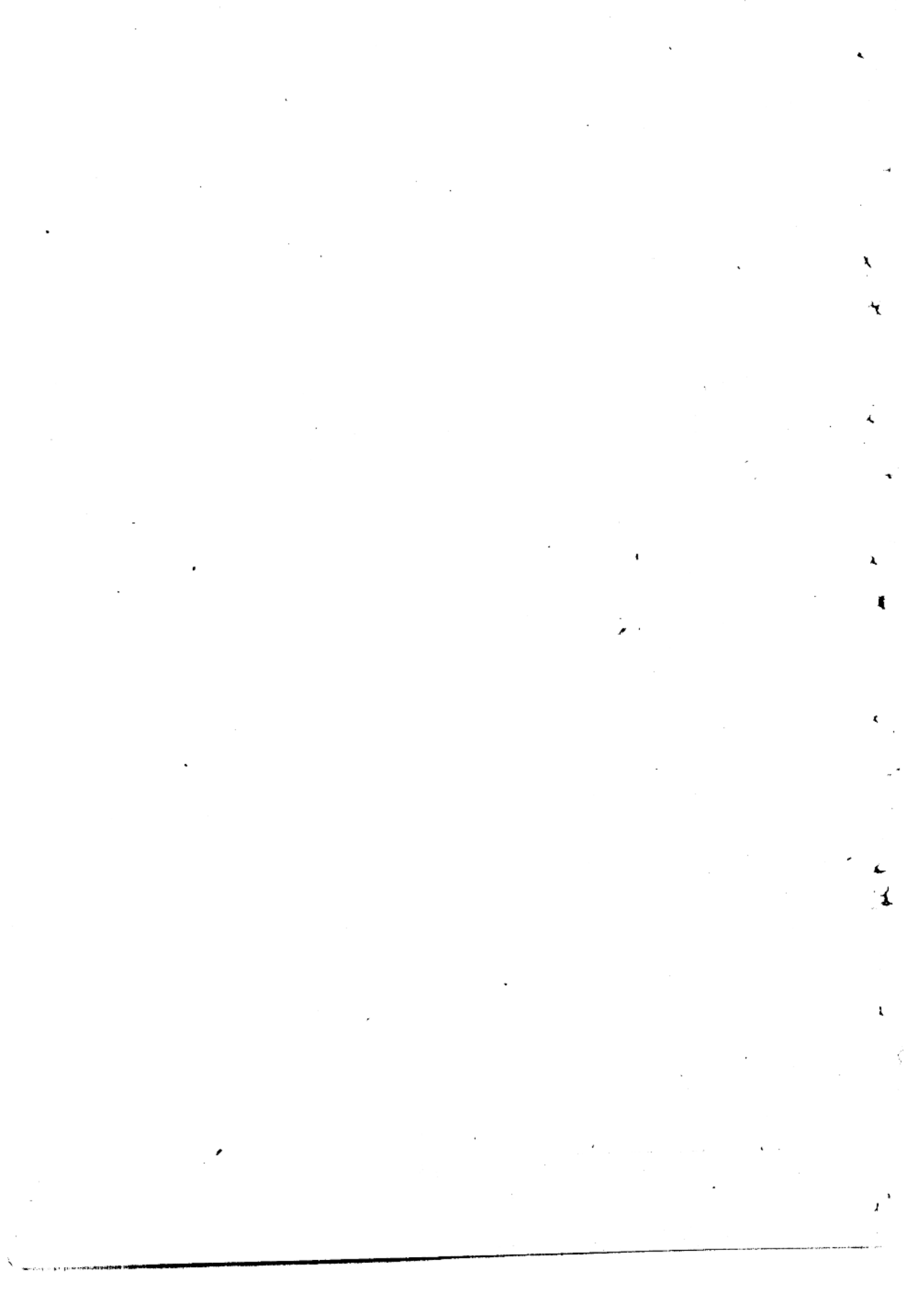
* * * * *

我国的炼鋁事业在解放以前基础极为薄弱。

我国黃海化学工业研究社从1932年开始用山东的鋁土矿，浙江和安徽的明矾石制得氧化鋁，1934年在300安培电解槽內电解冰晶石-氧化鋁熔体得金属鋁。在抗日戰爭期間四川矿冶研究所等从事过炼鋁試驗工作。日本帝国主义侵占我国領土东北和台湾期間，为掠夺我国資源，曾在撫順、高雄等地設立鋁厂，但規模甚小，生产水平极低。抗日戰爭胜利后国民党反动政府仅修复高雄鋁厂，未几，該厂又为美帝国主义所控制。

中华人民共和国成立之后，在第一个五年計劃期間內迅速建立起第一批鋁氧工厂和鋁电解工厂。1958年以来，我国的炼鋁事业在总路綫、大跃进、人民公社三面紅旗的光輝照耀下得到了飞跃的发展。我国的鋁工业生产、科学研究、文教事业各方面在伟大的中国共产党的正确领导下取得了巨大的成就。

可以預見，随着我国社会主义建設事业的飞跃发展，我国的炼鋁事业今后必将有更大的发展。



第一篇 鋁电解理論基础

第一章 电解质的体系及其性质

目前鋁电解槽所使用的电解質，已經远不是簡單的冰晶石—氧化鋁二元系，而是复杂的四元系、五元系乃至多元系了。如果不考慮杂质的作用，現代鋁电解槽电解質可以看作是 Na_3AlF_6 — Al_2O_3 — AlF_3 — CaF_2 系或 Na_3AlF_6 — Al_2O_3 — AlF_3 — CaF_2 — MgF_2 系。

虽然如此，但是， Na_3AlF_6 — Al_2O_3 仍是这复杂体系的基础。

§ 1. 电解質的熔度

由于冰晶石 (Na_3AlF_6 或 $3\text{NaF}\cdot\text{AlF}_3$) 是由 NaF 与 AlF_3 构成的，因此，在研究冰晶石时，應該首先研究 NaF — AlF_3 系。

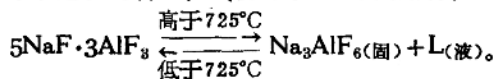
NaF — AlF_3 系状态圖首先由苏联学者 П. П. 費道切夫 (Федорьев) 与 В. П. 伊林斯基 (Илинский) 于1912年进行了仔細的研究。随后，1913年，Н. А. 潘申 (Пушин) 与 А. В. 巴斯科夫 (Басков) 也对此二元系的状态圖作了研究。二者結果分歧甚大。因此，促使 З. Ф. 倫金娜 (Лундина) 在十分慎重的条件下 (采用純試劑并極力避免所研究熔体与空气的接触)，重新研究了 NaF — AlF_3 二元系状态圖。

研究結果表明，她所得到的状态圖与費、伊二氏的状态圖，几乎完全一致。少許差別只是在于在她的結果中沒有發現冰晶石在氟化鈉中的固溶体，以及冰晶石的熔点稍高些 (1011°C)。最近，Г. А. 阿布拉莫夫 (Абрамов) 等又檢查了該系，所得結果也与費、伊二氏的結果十分一致⁽¹⁾。

因此， NaF — AlF_3 系的状态圖可以認為是確立了。

圖 1—1 內举出了費、伊二氏的 NaF — AlF_3 二元系状态圖。

由那里看出，状态圖上有两个化合物和两个共晶存在。第一个化合物在 25% (分子) AlF_3 时，物質成分为 $3\text{NaF}\cdot\text{AlF}_3$ 或 Na_3AlF_6 。这相当于矿物冰晶石的成分。其熔点为 1000°C 。由两侧液相續所形成之峰，具有一定程度的尖銳特性。另一个化合物在 37.5% (分子) AlF_3 处，相当于成分为 $5\text{NaF}\cdot3\text{AlF}_3$ 。是一个隱峰。其熔点为 725°C 。但熔化后立即分解为冰晶石与含 40% (分子) AlF_3 的熔体：



两个共晶点：一个是在 14% (分子) AlF_3 时，另一个是在 46.5% (分子) AlF_3 时。前者熔点为 885°C ，后者为 685°C 。

另外，也有的文献記載还有第三个共晶，在 67.5% (分子) AlF_3 处，熔点为 640°C 。也还有相当于 $\text{NaF}\cdot\text{AlF}_3$ (或 NaAlF_4) 的化合物存在，其熔点为 775°C 。

对于化合物 NaAlF_4 的存在，Г. А. 阿布拉莫夫等人持有否定的态度⁽¹⁾。但是，根据 E. H. 霍瓦特 (Howard) 等的研究， NaAlF_4 的存在是无可置疑的。E. H. 霍瓦特不仅

(1) Г. А. Абрамов и др., Теоретические основы электрометаллургии алюминия, 1953.

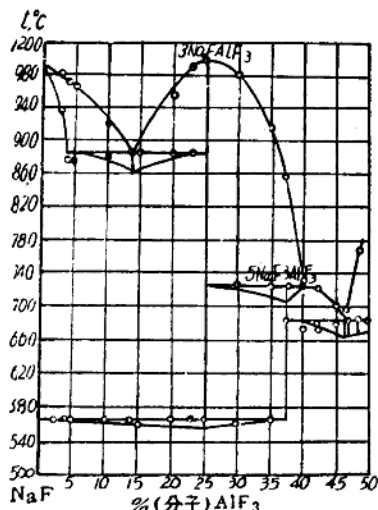


圖1—1 NaF—AlF₃系状态圖
(費道切夫与伊林斯基)

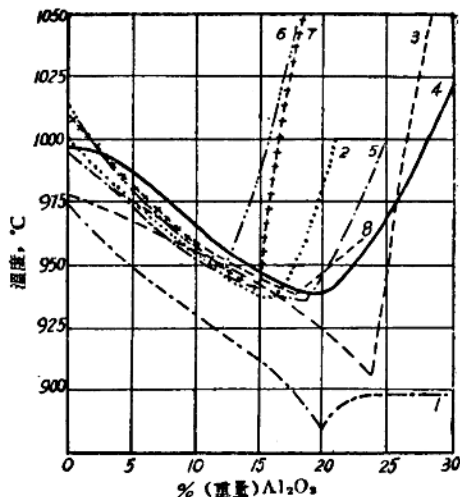
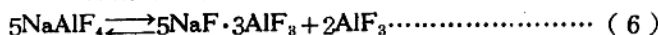


圖1-2 Na_3AlF_6 — Al_2O_3 系熔度圖
(根据不同学者的資料)

1—莫利真加烏埃尔；2—費道切夫与伊林斯基；3—巴斯卡里与儒尼；4—罗林茨、雅布斯与埃特里；5—盧士与米阿克；6—馬超雜菸；7—偷金娜；8—德羅斯巴赫

詳細地研究了这种化合物的性質，并且根据 X 射綫的分析，还确定了它的晶格常数⁽¹⁾。

至于是否能在状态圖上呈現為顯峰，倒是一個值得研究的問題。因為按 E. H. 霍瓦特的研究， NaAlF_4 在 470°C 時分解為亞冰晶石與氟化鋁：



由圖 1—1 中看到, 冰晶石中有 AlF_3 与 NaF 加入皆使初晶温度降低。对于 AlF_3 侧來說, 这一点具有实际意义。这对于采用酸性电解質提供了有利条件。

由于冰晶石和氧化鋁是鋁电解槽电解質成分的基础，因此， NaAlF_6 — Al_2O_3 系熔度圖的研究，也就自然引起許多人的兴趣，因为它不仅有理論意义，而且有重大的实际意义。

Na_3AlF_6 — Al_2O_3 系熔度圖的研究，实际上也就是氧化鋁在冰晶石中的溶解度的研究。

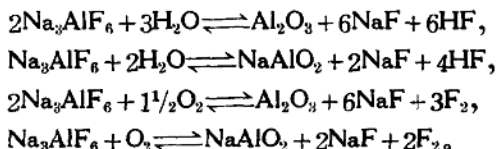
曾經有不下十名学者繪出了自己所得到的熔度圖。但是，值得深思的是，它們之間存在着很大的差別，几乎沒有兩個是完全吻合的。這一點由圖1—2看得很清楚。那裡舉出了不同學者的資料。圖上只繪出了液相線。

由那里看到：在亞共晶區域內，某些綫條還算互相接近，而在超共晶區域內，則相差十分懸殊。冰晶石的熔點變動於 $975-1025^{\circ}\text{C}$ 之間。共晶點的位置也大不相同。

В.П.馬紹維茨 (*Машовец*) 研究了这种分歧的原因。他认为：这种原因的产生，是由于各作者在试验中对熔体隔绝空气的条件不同所引起的。由于对空气隔绝得不好，因

(1) E. H. Howard, J. Amer. Chem. Soc. 1954, 76, 2041.

此，某些作者所用的冰晶石已受到了空气中的水份与氧的作用而发生了“蜕变”（Вырождение），即生成了 Al_2O_3 与 NaF ，乃至 NaAlO_2 ：



这样一来，就使所研究的熔体由二元系转为三元系乃至四元系了。

但 Г. А. 阿布拉莫夫等人对此种解释，不以为然⁽¹⁾。阿布拉莫夫等认为，在取冷却曲线这样短的时间内（10—15分钟），冰晶石的变化，根据马绍维茨本人的资料，不超过化学分析的误差范围。但实际上，在超共晶区域内分歧则十分巨大。假定发生“蜕变”是对的，那么，共晶的温度应该有所变化，但是，有五个曲线，其共晶温度几乎一致。

此外，在冰晶石“蜕变”过程很深时，共晶的位置应该向冰晶石侧移动。而实际却相反。没有采取办法隔绝空气的作者，得出共晶的位置距冰晶石的位置最远。相反，在防御最好的情况下所得到的数据（如 П. П. 费道切夫，З. Ф. 倫金娜），共晶的位置距冰晶石最近。

这些都说明以冰晶石“蜕变”来解释分歧的原因，不能认为是正确的。

Г. А. 阿布拉莫夫等认为：分歧的原因可能很多。但其中主要的是，第一，由于某些作者使用炭坩埚进行试验，因此，由于炭坩埚对 NaF 与 Al_2O_3 的选择吸收，使熔体中这两个成分减少，这就造成共晶向 Al_2O_3 侧的移动。其次，氧化铝的结晶热效应小，也是造成分歧的原因。由于氧化铝的结晶热效应小，则在熔体冷却速度大时，则冷却曲线上折点不易看出。再则，采用试剂纯度不够或温度测量不准也是造成误差的原因。

此外，也还可以想到，各学者进行试验所采用的氧化铝的活性大小，也将有很大关系。

根据最近 К. Г. 马林（Марин）与 А. И. 别略耶夫的研究，冰晶石的活性，对于 Al_2O_3 在冰晶石中的溶解度（确切说是溶解速度）有所影响。所形成的熔度图，也依所采取的 Al_2O_3 活性不同，而有所差异⁽²⁾。

目前多数人认为，比较可靠的是 З. Ф. 倫金娜所得到的 Na_3AlF_6 — Al_2O_3 二元系状态图。她是在使用纯化学试剂、小心隔绝空气，在铂坩埚内试验取得的。她所得到的状态图具有简单的共晶的特点（图1—3）。这种共晶特点，曾经为结晶光学分析所证实。苏联德尼泊铝厂中心试验室的研究证明，凝固后的冰晶石与氧化铝的熔体，在显微镜视野中，冰晶石仍然显示出它所独有的光学特征，比如，在含有 Al_2O_3 的合金中，冰晶石的折光

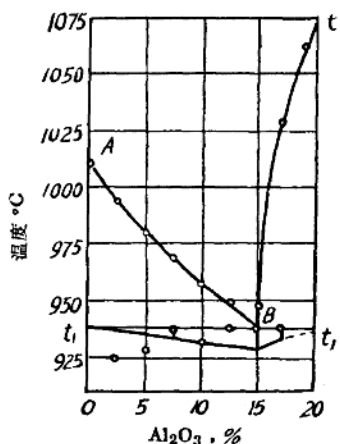


图1—3 Na_3AlF_6 — Al_2O_3 系熔度图
(З. Ф. 倫金娜)

(1) Г. А. Абрамов и др., Теоретические основы электрометаллургии алюминия, 1953.

(2) К. Г. Марин, А. И. Беляев, Труды Минцветметзолото, 1957, №27.

率沒有变化。在顯微鏡下看到的是冰晶石結晶体为 Na_3AlF_6 与 Al_2O_3 的共晶体所包围，而共晶体的数量随 Al_2O_3 含量的增加而增加。此外，这个状态圖的簡單共晶的特点，还为 X 光分析所証实。

由倫金娜的状态圖中得知，共晶点在 14.8% Al_2O_3 时，共晶温度为 938°C。

在 950°C 下 Al_2O_3 在冰晶石中的溶解度約为 15.2%。这个状态圖的特点是，在超共晶范围内，随 Al_2O_3 含量的增加，液相綫陡峭地上升。

近来，工业电解槽广泛地采用酸性电解質（即电解質中氟化鋁的含量較冰晶石中氟化鋁的理論量多的电解質，这种电解質中的 NaF 与 AlF_3 的分子比小于 3）。因此，研究 Na_3AlF_6 — AlF_3 — Al_2O_3 系的熔度，是有实际意义的。

圖 1—4 上举出 A. A. 科斯丘科夫所繪制的 Na_3AlF_6 — AlF_3 — Al_2O_3 系熔度圖。

由圖上看到，这个圖上有两个无变数点，一个は三元共晶点 e_0 ，一个は三元包晶点 e_1 。相当于 e_0 点的温度为 678°C，成分为：37.2% (分子) Na_3AlF_6 ，5% (分子) Al_2O_3 与 57.8% (分子) AlF_3 。 e_1 点的温度为 710°C 成分为：45% (分子) Na_3AlF_6 ，7.9% (分子) Al_2O_3 与 47.1% (分子) AlF_3 。在 e_1 点进行如下反应：

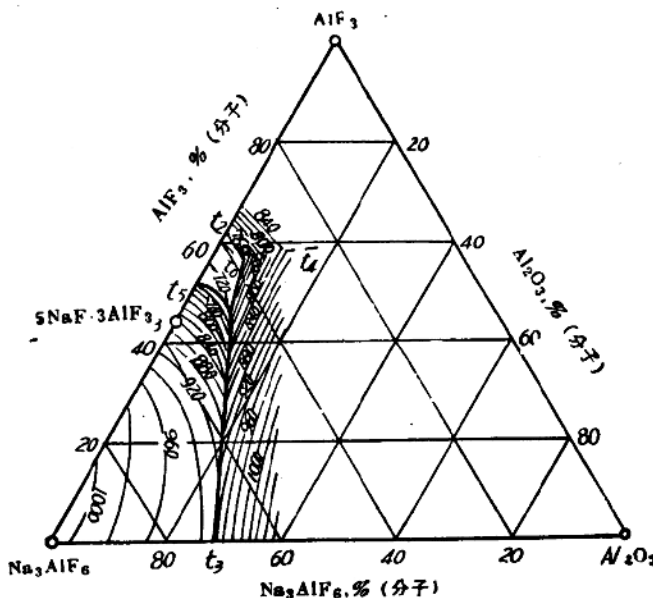


圖 1—4 Na_3AlF_6 — AlF_3 — Al_2O_3 三元系熔度圖 (科斯丘科夫)

对工业鋁电解槽的电解質來說，其成分只相当于某一剖面或某一剖面区域。因为工业鋁电解槽的电解質，其中 NaF 与 AlF_3 的分子比(即所謂“冰晶石比”，在本書中以符号 K 表示)保持一定数值或在一定的較窄范围内变化。只有氧化鋁含量的变动較大。

因此，为了了解在冰晶石比固定下的 Na_3AlF_6 — AlF_3 — Al_2O_3 系的熔度，只要取相当于 $[\text{NaF}] / [\text{AlF}_3]$ 固定的該系某一剖面即可。

圖 1—5 上繪出根據 A. N. 別略耶夫的研究所得到的相當于在 $[NaF]/[AlF_3]$ 等于 2.7 與 2.2 時的 $Na_3AlF_6-AlF_3-Al_2O_3$ 三元系液相線圖，圖上也相應地舉出倫金娜的曲線 ($K=3$) 以茲比較。

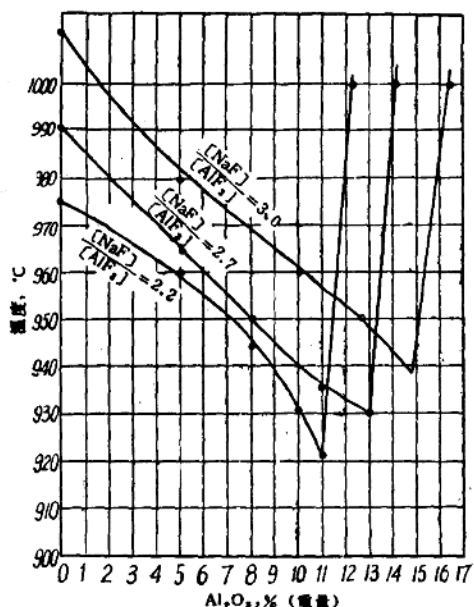


圖 1—5 $(NaF)/(AlF_3)$ 不同的 $Na_3AlF_6-AlF_3-Al_2O_3$ 系熔體的液相線圖

由那里看到，隨 AlF_3 含量的增加， Al_2O_3 的溶解度降低。比如，在純冰晶石中，即在 $[NaF]/[AlF_3]=3$ 時，在 $1000^{\circ}C$ 下 Al_2O_3 的溶解度為 16.5% (重量)，而在 $[NaF]/[AlF_3]=2.2$ 時則為 12.2% (重量) Al_2O_3 。

此外，由那里還看到，在相同的 Al_2O_3 含量之下，初晶溫度隨冰晶石比的減小而降低。又，共晶點的位置隨冰晶石比的減小而向左下方移動。

由於工業鋁電解槽電解質中總是含有一定量的氟化鈣存在（為了改善電解質性質故意加入的和由於原料中的杂质氧化鈣與電解質中的冰晶石或氟化鋁相互作用所生成的），因此，許多人對 $Na_3AlF_6-CaF_2$ 系， $Na_3AlF_6-AlF_3-CaF_2$ 系及 $Na_3AlF_6-CaF_2-Al_2O_3$ 系的熔度進行了研究。

圖 1—6 中舉出根據 Г. А. 阿布拉莫夫等人的研究所得的結果。

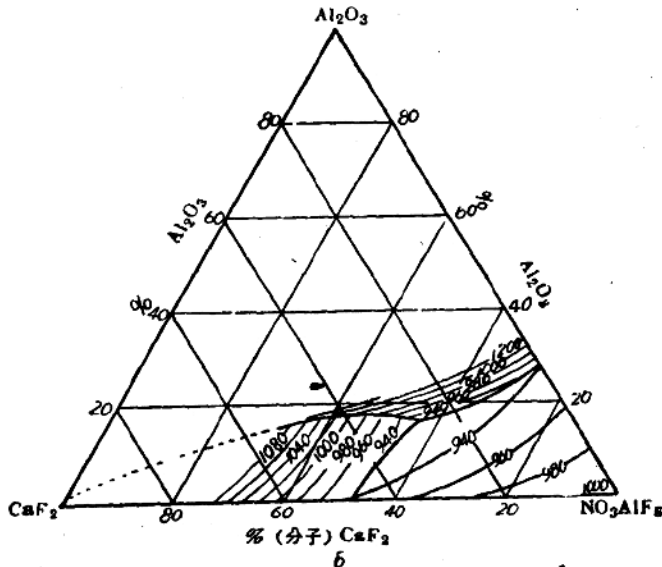


圖 1—6 $Na_3AlF_6-Al_2O_3-CaF_2$ 三元系熔度圖 (阿布拉莫夫等)

由那里看到，在 $\text{Na}_3\text{AlF}_6-\text{Al}_2\text{O}_3$ 中加入 CaF_2 使熔体的初晶温度降低。

图上有一个共晶点，在57%（分子） Na_3AlF_6 ，16.2%（分子） Al_2O_3 与26.8%（分子） CaF_2 处。共晶温度为920°C。它比 $\text{Na}_3\text{AlF}_6-\text{Al}_2\text{O}_3$ 二元共晶的温度低15°。

A.I. 别略耶夫所研究的在 $[\text{NaF}]/[\text{AlF}_3]=2.2, 2.5$ 与2.7时，含有固定的 CaF_2 含量的熔体〔 CaF_2 含量为7%（重量）〕，其初晶温度随 Al_2O_3 浓度变化的图形，对我们更有用处（图1-7）。

从图上看到，有7%（重量） CaF_2 存在，熔体的初晶温度又有所降低。与图5相对照起来看，在相同分子比的情况下，熔体的最低点又向左下方，即向低温与 Al_2O_3 含量小的方向移动。

还应该谈一谈含有氟化镁的电解质的熔度，以及同时含有氟化镁与氟化钙的电解质的熔度。前者的意义在于：目前许多国家都采用 MgF_2 作为一种改善电解质性质的添加剂（如苏联等国家的铝厂），后者在于： CaF_2 不论故意加入与否，总是在电解槽中存在的。因此，如采用 MgF_2 作为添加剂，则电解质中将必然是 MgF_2 与 CaF_2 共同存在的。

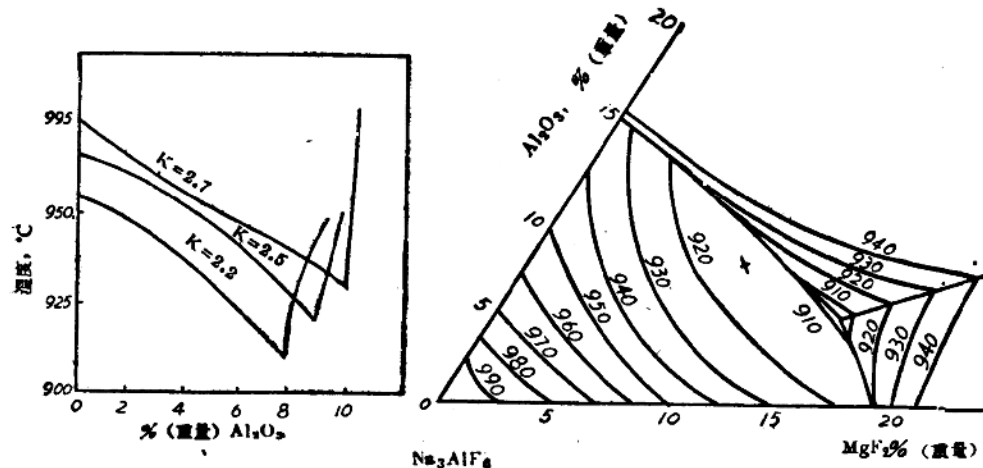


图 1-7 在不同的冰晶石比与固定的 CaF_2 含量之下〔7%（重量） $\text{CaF}_2\right]$ $\text{Na}_3\text{AlF}_6-\text{AlF}_3-\text{Al}_2\text{O}_3-\text{CaF}_2$ 系的熔度图
(别略耶夫)

图 1-8 $\text{Na}_3\text{AlF}_6-\text{Al}_2\text{O}_3-\text{MgF}_2$ 三元系熔度图
(别略耶夫)

含 MgF_2 电解质的物理化学性质，以及其在工业电解槽上应用的可能性业经比较详细地研究过[1-4]。

图1-8上举出A.I.别略耶夫所得到的 $\text{Na}_3\text{AlF}_6-\text{Al}_2\text{O}_3-\text{MgF}_2$ 三元系熔度图的冰

[1] А.И. Беляев и др., Труды Минцветметзюзото. 1954 №24.

[2] А.И. Беляев, Физико-химические процессы при электролизе алюминия, 1947

[3] 邱竹贤, 氟化镁对铝电解过程的影响, 1956 (部分资料载东工有色金属, 1959.2).

[4] О.К. Соколов, Известия ВУЗ, Чист. Мет., №1 1960.

晶石一角的圖形。

由那里看到，由冰晶石起，液相面向共晶点降低。共晶点为 909°C 。其成分为 80% (重量) Na_3AlF_6 , 4.5% (重量) Al_2O_3 与 15.5% (重量) MgF_2 。

关于 MgF_2 对 $\text{NaF}-\text{AlF}_3$ 系熔体初晶温度降低的影响，可以这样說：在酸性范围内 ($[\text{NaF}]/[\text{AlF}_3] = 2.3-3.0$)，对熔体初晶温度的降低，添加 10% MgF_2 ，在 $[\text{NaF}]/[\text{AlF}_3] = 2.3$ 时，由 975°C 降至 935°C ，在 $[\text{NaF}]/[\text{AlF}_3] = 2.7$ 时，由 985°C 降到 953°C ，在 $[\text{NaF}]/[\text{AlF}_3] = 3$ 时，由 990°C 降到 960°C 。降低范围在 $30-40^{\circ}\text{C}$ 之間（圖 1-9）。

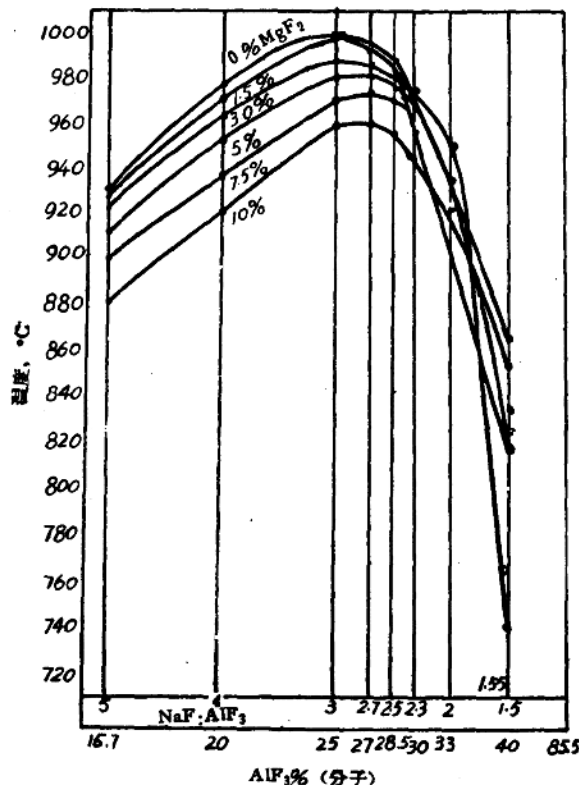


圖1-9 MgF_2 对 $\text{NaF}-\text{AlF}_3$ 系熔体初晶温度的影响（別略耶夫等）

上述結果是在沒有氧化鋁存在下得到的。有氧化鋁存在，初晶溫度又有所降低。

下圖舉出 MgF_2 对冰晶石比为 2.5，含有不同数量 Al_2O_3 的熔体的初晶温度的影响（圖1-10）。圖中还举出了 CaF_2 的相应曲綫（虛綫）。

由那里看出，在含 7% Al_2O_3 时，添加 5% (重量) MgF_2 可使熔体的初晶温度降低到 900°C 。同时看到， MgF_2 降低初晶温度的作用較 CaF_2 的大得多。 CaF_2 的一組曲綫位于 MgF_2 一組曲綫之上。

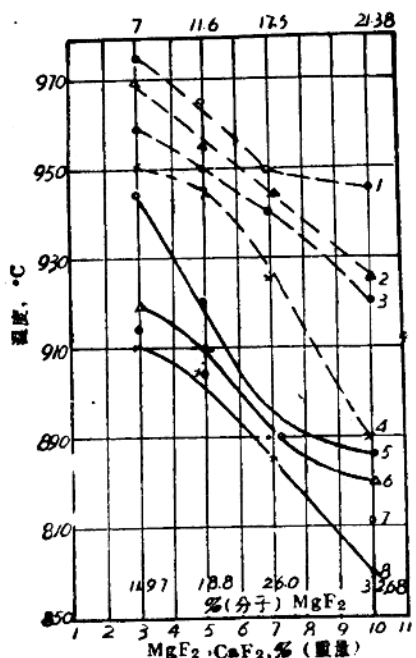


图 1-10 在不同的氧化铝含量之下 MgF_2 与 CaF_2 对冰晶石比 2.5 的熔体的初晶温度的影响 (别格耶夫等)

是随时在变化的。电解槽处理后到再一次阳极效应发生，电解质初晶温度逐渐升高。这一点可以由 Н.И. 谢威科夫 (Новиков) 与 А.И. 别格耶夫的研究 (图 1-12) 看得很清楚。相应的数据举于表 2 (2)。

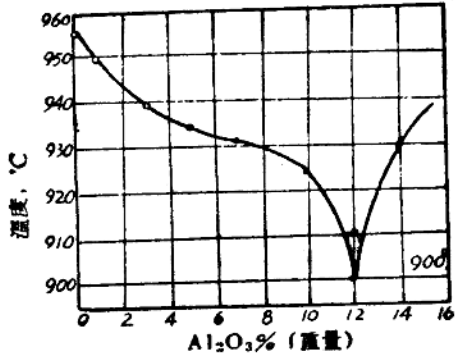


图 1-11 $(2.5\ NaF \cdot AlF_3 + 5\% \text{ (重量)} CaF_2 + 5\% \text{ (重量)} MgF_2) - Al_2O_3$ ‘假二元系’ 熔度图

关于 MgF_2 与 CaF_2 对熔体初晶温度降低的共同影响，可由图 1-11 看得很清楚。那里是 А.И. 别格耶夫，Е.А. 热姆邱仁娜 (Жемчужена) 与 П.А. 费尔萨诺娃 (Фирсанова) 所得到的所谓假二元系 [$2.5NaF \cdot AlF_3 + 5\% \text{ (重量)} CaF_2 + 5\% \text{ (重量)} MgF_2$] — Al_2O_3 的熔度图 [1]。

由图 1-11 看出，冰晶石比 2.5，含有 5% (重量) MgF_2 与 5% (重量) CaF_2 与 Al_2O_3 构成的熔体，在 12% Al_2O_3 时形成最低点，温度 900°C。930°C 时电解质中 Al_2O_3 的最大溶解度为 14%。

这一切都说明，电解质保持酸性，即 $[NaF]/[AlF_3] < 3$ ，而同时添加 CaF_2 或 MgF_2 从熔度的观点来看，是有利的。此时电解质的熔点可显著降低，同时电解过程获得很大的稳定性。至于 MgF_2 含量与分子比的关系，一般是提高分子比便可增多 MgF_2 的含量。

当然，工业电解槽电解质的初晶温度，是随时在变化的。电解槽处理后到再一次阳极效应发生，电解质初晶温度逐渐升高。这一点可以由 Н.И. 谢威科夫 (Новиков) 与 А.И. 别格耶夫的研究 (图 1-12) 看得很清楚。相应的数据举于表 2 (2)。

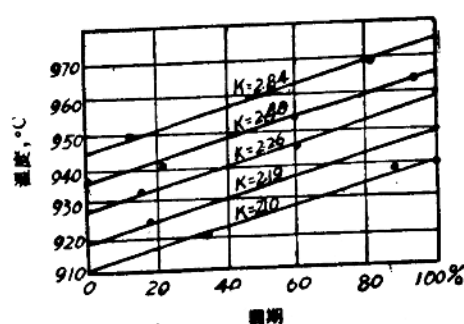


图 1-12 两次电解槽处理期间内工业铝电解槽电解质初晶温度的变化 (谢威科夫与别格耶夫)

[1] А.И. Беляев и др., Цветные металлы 1957.5. 70—74.

[2] Н.И. Новиков, А.И. Беляев, Цветные металлы, 1957.11. 46—52.